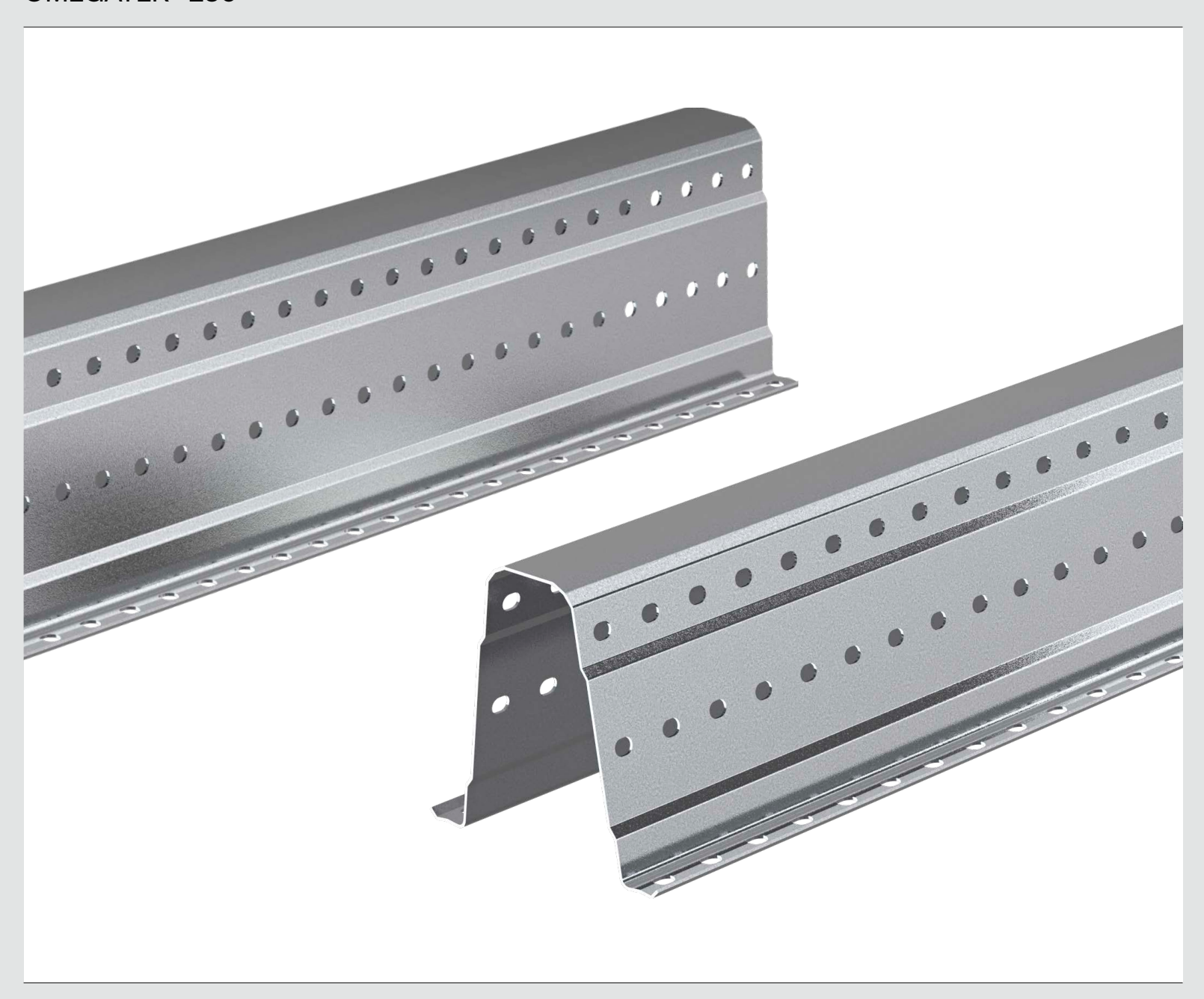
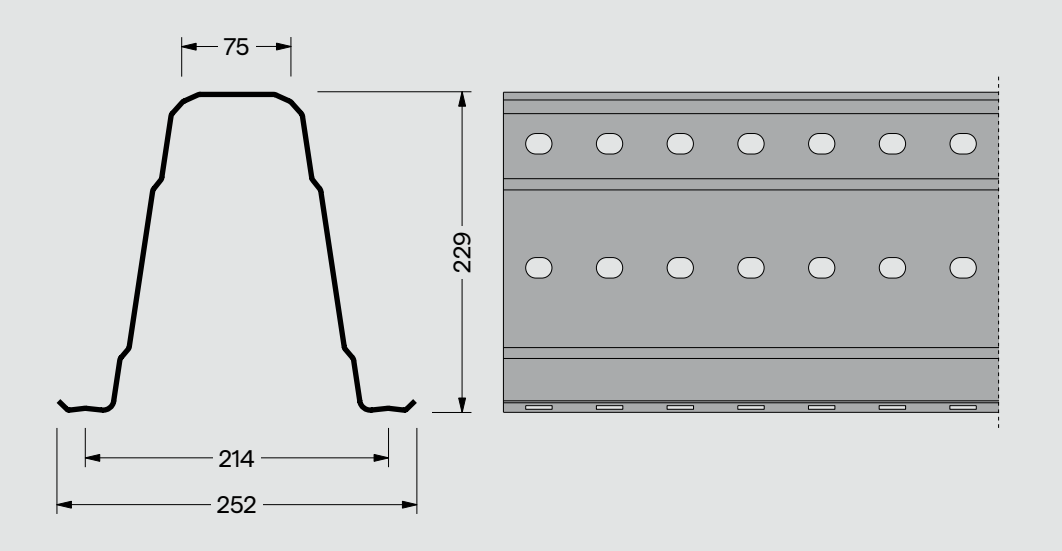
# OMEGATEK



361metal



# GÉOMÉTRIE DE LA SECTION



# Description

Gamme de pannes métalliques de grand qualité, formées à froid avec de la tôle galvanisée structurelle certifiée.

# Application

Structure de support pour toitures et bardages métalliques ou panneaux isolants dans la construction, support pour installations solaires et structures légères.

Produit certifié CE conformément à la Norme Européenne EN 1090, spécifique pour les structures métalliques.

02 361 Metal

## PROPRIÉTÉS DE LA SECTION BRUTE

| SECTION           | POIDS | LIALITELIA | LARGEUR | ÉPAISSEUR        |                  | PROPRIÉTÉS DE LA SECTION BRUTE |                      |                      |               |                      |                                  |      |                                   |                 |                 |  |  |
|-------------------|-------|------------|---------|------------------|------------------|--------------------------------|----------------------|----------------------|---------------|----------------------|----------------------------------|------|-----------------------------------|-----------------|-----------------|--|--|
|                   |       | HAUTEUR    |         | Nomi.            | Effi.            | FROFRIETES DE LA SECTION BRUTE |                      |                      |               |                      |                                  |      |                                   |                 |                 |  |  |
|                   |       | h          | b       | t <sub>nom</sub> | t <sub>eff</sub> | A <sub>brute</sub>             | I <sub>y,brute</sub> | I <sub>z,brute</sub> | $W_{y,brute}$ | W <sub>z,brute</sub> | l <sub>w</sub>                   | It   | Y <sub>cg</sub> = Y <sub>cc</sub> | Z <sub>cg</sub> | Z <sub>cc</sub> |  |  |
|                   | Kg/m  | mm         | mm      | mm               | mm               | mm²                            | mm⁴                  | mm <sup>4</sup>      | mm³           | mm³                  | ×10 <sup>6</sup> mm <sup>6</sup> | mm⁴  | mm                                | mm              | mm              |  |  |
| Omegatek® 230×1,5 | 7,20  | 229        | 252     | 1,5              | 1,46             | 917                            | 5941500              | 4510900              | 50702         | 35709                | 5091,4                           | 652  | 126                               | 113             | 289             |  |  |
| Omegatek® 230×2,0 | 9,67  | 229        | 252     | 2,0              | 1,96             | 1231                           | 7976700              | 6055800              | 67924         | 47871                | 6835,1                           | 1577 | 126                               | 113             | 289             |  |  |
| Omegatek® 230×2,5 | 12,13 | 229        | 252     | 2,5              | 2,46             | 1545                           | 10012000             | 7600900              | 84508         | 60001                | 8578,7                           | 3118 | 126                               | 113             | 289             |  |  |
| Omegatek® 230×3,0 | 14,60 | 229        | 252     | 3,0              | 2,96             | 1860                           | 12048000             | 9146000              | 102160        | 72097                | 10322,0                          | 5431 | 126                               | 113             | 289             |  |  |

Note: les poids indiqués dans les tableaux sont des poids théoriques estimés sur la base des dimensions nominales de la section transversale. Des variations peuvent se produire dans les limites des tolérances prévues par la norme EN 10051.

#### PROPRIÉTÉS DE LA SECTION EFFICACE

| S280 GD           |                  |                     |              |                  |                        |             |              |              |                  |                 |             |               |              |                  |                    |             |                     |                     |
|-------------------|------------------|---------------------|--------------|------------------|------------------------|-------------|--------------|--------------|------------------|-----------------|-------------|---------------|--------------|------------------|--------------------|-------------|---------------------|---------------------|
|                   | COMPRESSION      |                     |              |                  | FLEXION POSITIVE AXE Y |             |              |              |                  | FLEXION NE      |             | FLEXION AXE Z |              |                  |                    |             |                     |                     |
| SECTION           | A <sub>eff</sub> | Y <sub>cg,eff</sub> | $Z_{cg,eff}$ | A <sub>eff</sub> | I <sub>y,eff</sub>     | $W_{y,eff}$ | $Y_{cg,eff}$ | $Z_{cg,eff}$ | $A_{\text{eff}}$ | $I_{y,eff}$     | $W_{y,eff}$ | $Y_{cg,eff}$  | $Z_{cg,eff}$ | $A_{\text{eff}}$ | I <sub>z,eff</sub> | $W_{z,eff}$ | Y <sub>cg,eff</sub> | Z <sub>cg,eff</sub> |
|                   | mm²              | mm                  | mm           | mm²              | mm⁴                    | mm³         | mm           | mm           | mm²              | mm <sup>4</sup> | mm³         | mm            | mm           | mm²              | mm⁴                | mm³         | mm                  | mm                  |
| Omegatek® 230×1,5 | 635              | 126                 | 109          | 860              | 5751300                | 47622       | 126          | 102          | 861              | 5638600         | 47579       | 126           | 110          | 778              | 3774600            | 27412       | 138                 | 107                 |
| Omegatek® 230×2,0 | 944              | 126                 | 107          | 1181             | 7811700                | 65242       | 126          | 104          | 1186             | 7747000         | 66299       | 126           | 109          | 1091             | 5346000            | 39792       | 134                 | 106                 |
| Omegatek® 230×2,5 | 1279             | 126                 | 107          | 1505             | 9897500                | 82920       | 126          | 104          | 1511             | 9839600         | 84734       | 126           | 107          | 1418             | 6981700            | 52992       | 132                 | 106                 |
| Omegatek® 230×3,0 | 1635             | 126                 | 106          | 1831             | 11953000               | 100630      | 126          | 105          | 1838             | 11941000        | 101940      | 126           | 107          | 1747             | 8613800            | 66229       | 130                 | 106                 |

## S350 GD

|                   | COMPRESSION      |                     |              |                  | FLEXION PO         | OSITIVE A   | AXE Y               |              | FLEXION NÉGATIVE AXE Y |                    |             |                     |              |                  | FLEXION AXE Z      |             |                     |                     |  |  |
|-------------------|------------------|---------------------|--------------|------------------|--------------------|-------------|---------------------|--------------|------------------------|--------------------|-------------|---------------------|--------------|------------------|--------------------|-------------|---------------------|---------------------|--|--|
| SECTION           | A <sub>eff</sub> | Y <sub>cg,eff</sub> | $Z_{cg,eff}$ | A <sub>eff</sub> | l <sub>y,eff</sub> | $W_{y,eff}$ | Y <sub>cg,eff</sub> | $Z_{cg,eff}$ | A <sub>eff</sub>       | I <sub>y,eff</sub> | $W_{y,eff}$ | Y <sub>cg,eff</sub> | $Z_{cg,eff}$ | A <sub>eff</sub> | I <sub>z,eff</sub> | $W_{z,eff}$ | Y <sub>cg,eff</sub> | Z <sub>cg,eff</sub> |  |  |
|                   | mm²              | mm                  | mm           | mm²              | mm <sup>4</sup>    | mm³         | mm                  | mm           | mm²                    | mm <sup>4</sup>    | mm³         | mm                  | mm           | mm²              | mm <sup>4</sup>    | mm³         | mm                  | mm                  |  |  |
| Omegatek® 230×1,5 | 593              | 126                 | 110          | 843              | 5692400            | 46698       | 126                 | 102          | 831                    | 5487800            | 45407       | 126                 | 113          | 760              | 3636600            | 26026       | 140                 | 107                 |  |  |
| Omegatek® 230×2,0 | 883              | 126                 | 108          | 1162             | 7747700            | 64223       | 126                 | 103          | 1165                   | 7627800            | 64560       | 126                 | 110          | 1059             | 5156900            | 37746       | 137                 | 107                 |  |  |
| Omegatek® 230×2,5 | 1202             | 126                 | 107          | 1484             | 9811000            | 81818       | 126                 | 104          | 1490                   | 9732800            | 83177       | 126                 | 108          | 1378             | 6759900            | 50496       | 134                 | 106                 |  |  |
| Omegatek® 230×3,0 | 1543             | 126                 | 107          | 1809             | 11881000           | 99560       | 126                 | 104          | 1816                   | 11828000           | 101640      | 126                 | 108          | 1705             | 8389100            | 63631       | 132                 | 106                 |  |  |

## Légende

 $A_{brute}$  Aire de la section brute

 $\begin{array}{ll} I_{y,brute} & & Inertie \ de \ la \ section \ brute \ axe \ yy \\ I_{z,brute} & & Inertie \ de \ la \ section \ brute \ axe \ zz \\ I_{w} & & Constante \ de \ déformation \end{array}$ 

I, Inertie de torsion

CG Coordonnées du centre de gravité CC Coordonnées du centre de cisaillement

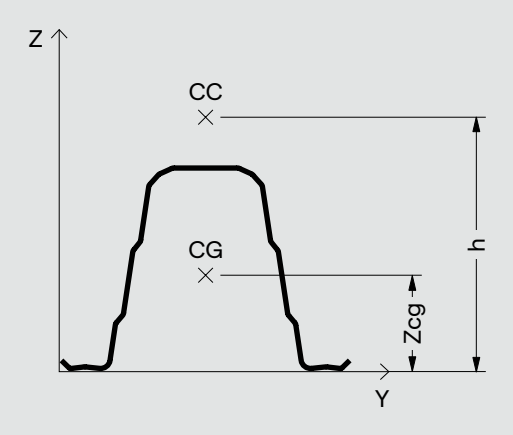
A<sub>eff</sub> Aire de la section efficace

l<sub>y,eff</sub> Inertie de la section efficace axe yy

W<sub>y,eff</sub> Module de flexion de la section efficace axe yy

 $I_{z,eff}$  Inertie de la section efficace axe zz

 $W_{z,eff}$  Module de flexion de la section efficace axe zz

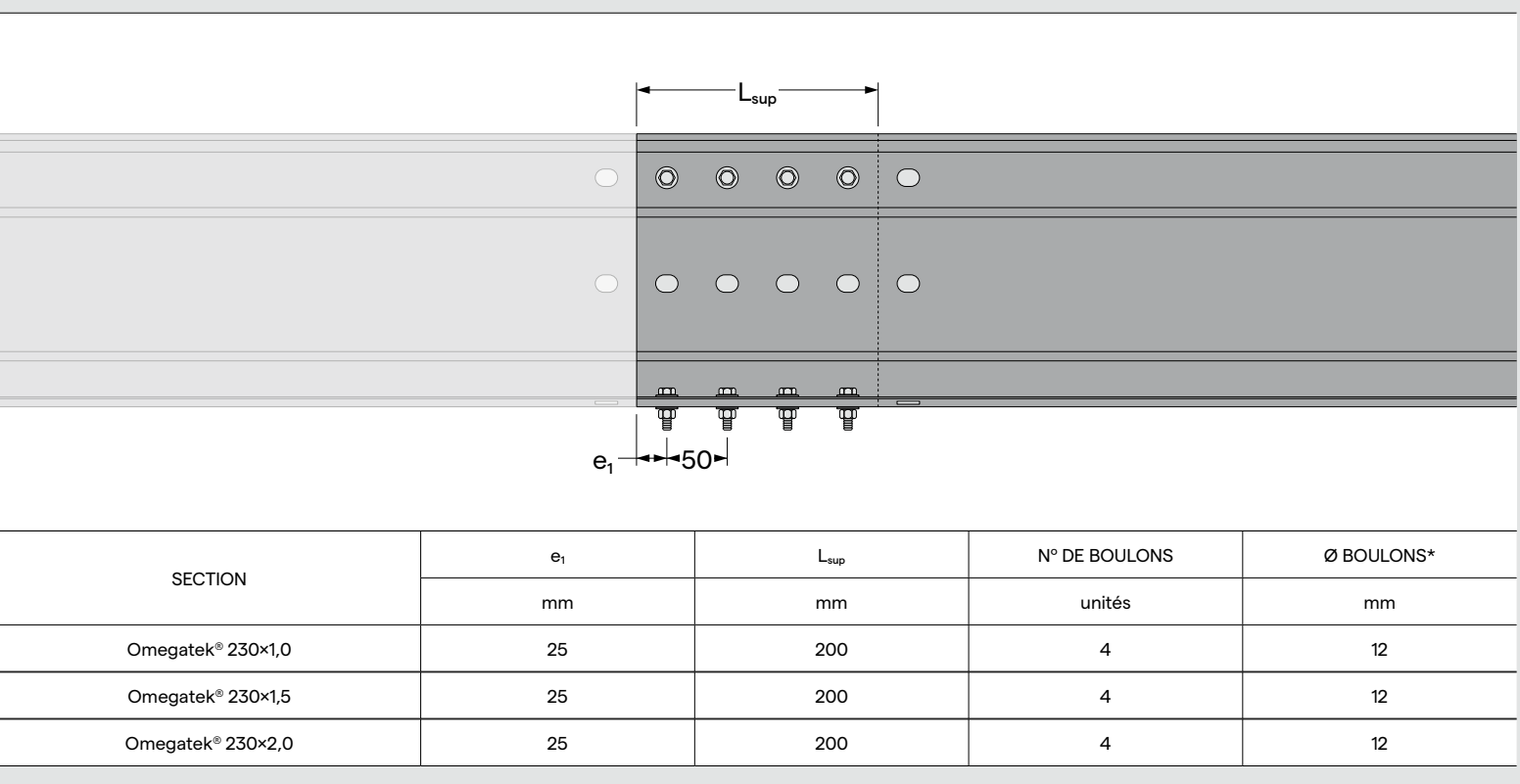


# ASSEMBLACES ET DISPOSITIONS CONSTRUCTIVES

## IMAGE DU PRODUIT APPLIQUÉ



# 01. Épissure simple entre appuis



<sup>\*</sup>Boulons classe 8.8

# Légende

L<sub>sup</sub> Longueur de superposition

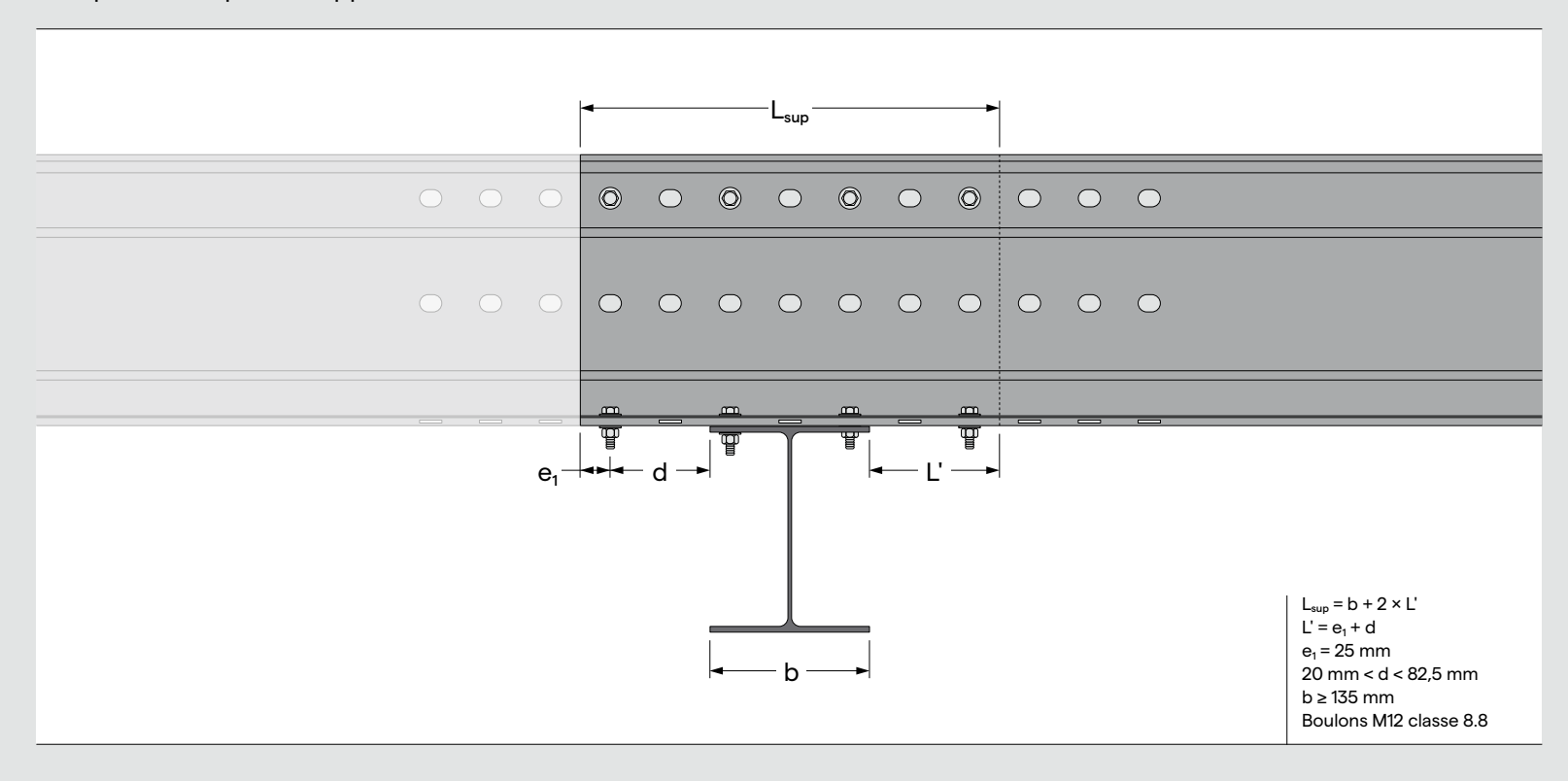
e<sub>1</sub> Distance entre le centre du boulon et l'extrémité du profil

Ø Diamètre des boulons

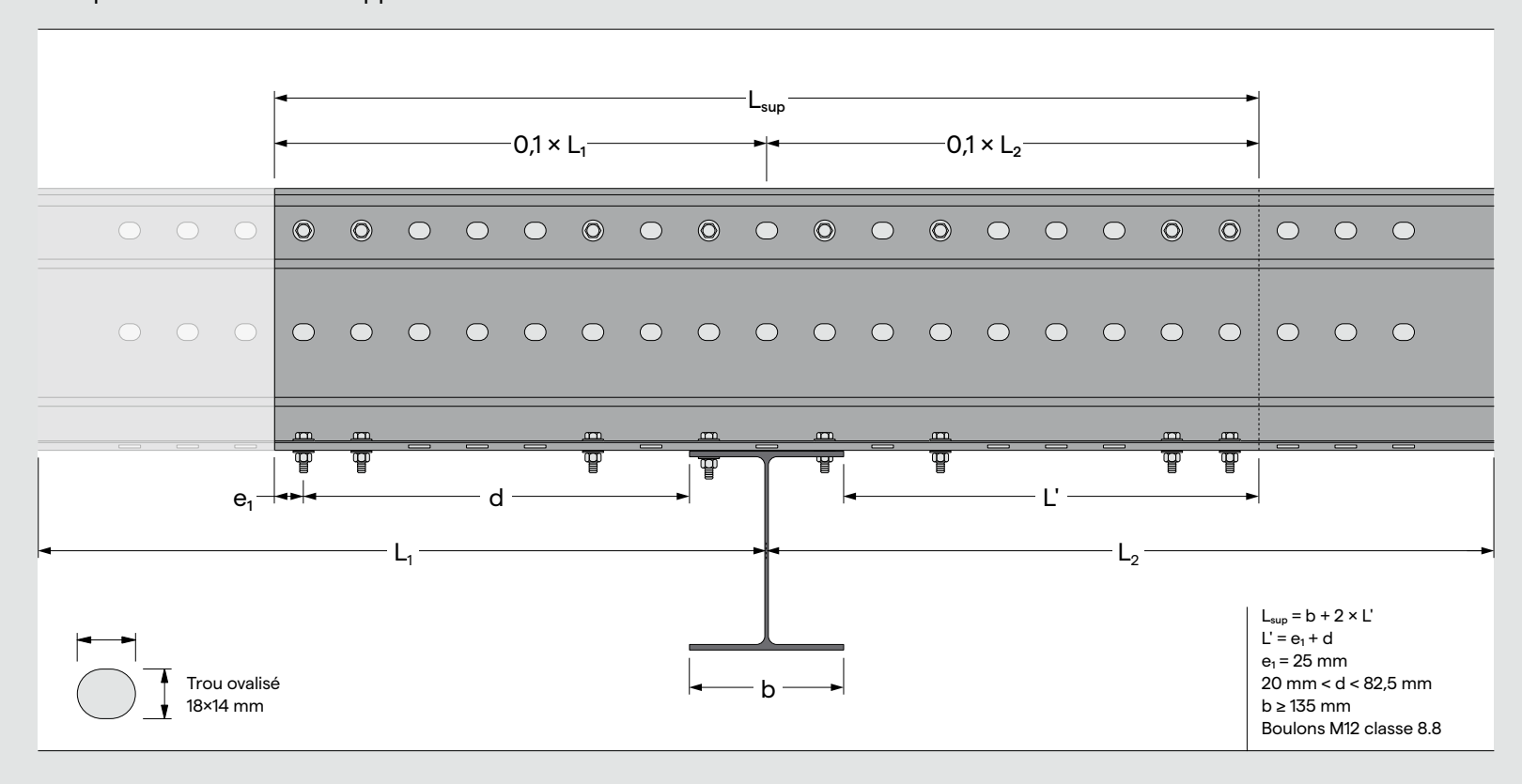
04 361 Metal

#### ASSEMBLACES ET DISPOSITIONS CONSTRUCTIVES

## 02. Épissure simple sur l'appui intermédiaire



# 03. Épissure renforcée sur l'appui intermédiaire



# Légende

 $L_{\text{sup}}$  Longueur de superposition

L' Distance entre l'extrémité de la semelle de l'appui et l'extrémité du profil

e<sub>1</sub> Distance entre le centre du boulon et l'extrémité du profil

d Distance entre l'extrémité de la semelle de l'appui et le centre du boulon de l'extrémité

b Largeur de la semelle supérieur de la poutre d'appui

Ø Diamètre des boulons

BRAGA (SIÈGE) Rua da Quinta, N° 1 4705-475 Esporões Braga, Portugal +351 253 086 750

> VILA REAL Estrada Nacional 15, N° 2029 5000-121 Justes, Vila Real, Portugal +351 259 331 778

VILA NOVA DE GAIA Rua da Junqueira de Baixo, Nº 131 4405-870 Vila Nova de Gaia, Portugal +351 227 629 539

COIMBRA
Bairro Industrial da Pedrulha
3021-901 Coimbra, Portugal
+351 913 700 458

info@361metal.com 361metal.com

